

## V-139 極太異形棒鋼鉄骨を用いたSRCはりの繰返し耐荷特性

住友金属工業㈱ 正員 小林洋一  
住友金属工業㈱ 正員 森本精洋

## 1. はじめに

別報にて、断面が8角形で各辺交互に溶接組立用平坦面とふし突起部を有する極太異形棒鋼（公称径70～160mm）を鉄骨フランジ材としたSRC構造について、はり模型の静的載荷実験により耐荷性能並びにひび割れ分散性の良好なことを報告した。ここでは引き続き、同様のSRCはりを用いて交番繰返し載荷実験を行い、その耐荷性能について検討したので、結果を報告する。

## 2. 実験内要

**2.1 供試体** 供試体は図1に示すように、曲げ卓越型とせん断卓越型の2条件のはり8体であり、せん断スパン比はそれぞれ3.6及び1.5である。その内容は表1に示すとおり、④H形鋼を用いたフルウェブ形式のSRC供試体(MH, SH), ⑤極太異形棒鋼を用いたラチスウェブ形式のSRC供試体(ラチス材板厚2種類; ML1, ML2, SL1, SL2)及び⑥ラチスウェブの効果把握のため⑦に対せん断補強をスター・ラップのみとしたRC供試体(MR, SR)である。なお、実際の極太異形棒鋼の断面は8角形を考えているが、ここでは便宜的にφ51mmの円形断面とし全周にピッチ30mm, 高さ2mmのふし突起を設け、若干コンクリートとの付着力を低下させたものを使用した。

供試鋼材の機械的性質を表2に、コンクリートの性質を表3に、及びφ51相当極太異形棒鋼の付着強度を表4に示す。

**2.2 載荷方法** 載荷は、供試体の上下方向から2つの油圧ジャッキを交互に使用して、静的交番繰返し載荷を行った。荷重の増減は変位制御で行い、RC供試体MR, SRの各短期許容設計荷重時の中央変位δ<sub>0</sub>を基準として、中央変位δが目標値δ/δ<sub>0</sub>=1, 3, 5, 7, 10(せん断卓越型ではさらに20, 30)にて、一旦除荷し負側にも同一変位振幅を与え、かつ再度正側の目標変位に至らせた後、次の目標変位へ進めるようにした。なお、各目標変位における繰返し回数は3回とした。

## 3. 実験結果と考察

**3.1 耐荷特性** 曲げ卓越、及びせん断卓越載荷条件での各供試体の履歴曲線を数例図2, 3に、その荷重ピーク包絡線を図4, 5に示す。また各供試体の変形能に関わるウェブ形式と韌性の関係を表5に示す。これらより耐荷特性について以下のことが判る。

(1)曲げ卓越載荷 ①各供試体とも破壊形式は鋼材の曲げ降伏で決定し、ラチス材の大小が耐力に及ぼす影響は小さい。②極太異形棒鋼鉄骨を使用することにより、RC構造に比べて韌性率は1.4倍以上に向上し、かつエネルギー吸収能力も大幅に向上しており、ラチス材の効果が大きい。

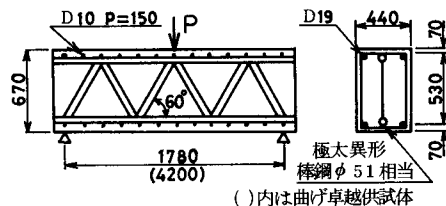


図1 供試体形状の一例(供試体SL2)

表1 供試体の内容

曲げ卓越	せん断卓越	使用鋼材比	備考
MH	SH	1.00	鉄骨 H490×300×6×10.2
ML1	SL1	0.81	極太異形棒鋼φ51, ラチス t16×b50
ML2	SL2	0.92	極太異形棒鋼φ51, ラチス t16×b100
MR	SR	0.65	極太異形棒鋼φ51を鉄筋使用

表2 使用鋼材の機械的性質

材 料	耐力(KN/mm <sup>2</sup> )	引張強度(KN/mm <sup>2</sup> )	伸び(%)	備 考
鋼板t10.2	29.2	48.9	29.1	Hフランジ材
鋼板t6	26.3	37.5	31.7	Hウェブ材
鋼板t16	24.3	43.6	33.4	ラチス材
丸棒φ51	50.5	63.9	17.6	極太異形棒鋼
鉄筋D19	36.3	54.5	31.0	曲げ鉄筋
鉄筋D10	42.6	62.2	26.5	スター・ラップ

表3 コンクリートの性質

圧縮強度(%f <sub>c</sub> )	引張強度(%f <sub>t</sub> )	ヤング率(GPa)	ボアソン比
23.6	19.7	2.1×10 <sup>5</sup>	0.18

表4 極太異形棒鋼(φ51相当)の付着強度

初期付着強度(%f <sub>c</sub> )	最大付着強度(%f <sub>c</sub> )	備 考
8.9	14.2	$\sigma_c=236(\text{kg/mm}^2)$

(2)せん断卓越載荷 ①破壊形式  
は供試体 S R, S L 1 がせん断破壊し、ラチス材が厚い S L 2 は曲げ降伏の後、ラチス材が降伏してせん断破壊に移行しており、耐力に及ぼすラチス材の大小の影響が大きい。なお、フルウェブ形式の H 鉄骨を用いると、せん断に対しても十分な耐力が与えられる。② S L 1, S L 2 を比べると、ラチス材断面積を 2 倍にすることにより、靭性率が大きく向上し、H 鉄骨使用の場合とほぼ同等のエネルギー吸収能力が得られる。  
以上、極太異形棒鋼をラチス材とともに鉄骨化し、かつラチス材の板厚を適宜選択すれば、地震時変形性能の向上が可能といえる。

**3.2 コンクリートと鋼材の相対変位** ふし突起の有無が鉄骨フランジの付着特性に及ぼす影響を把握するため、供試体端部のコンクリートとフランジ鋼材との相対ずれ変位をピーク荷重時に測定した結果を図 6 に示す。これより付着に対して厳しい条件のせん断卓越載荷にて、R C 供試体の相対ずれ変位は S R C 供試体のそれらに比べて非常に大きく、付着強度が限界に達しているものと考えられる。これに次いで相対ずれ変位が大きいのは、鋼材表面が平滑な H 鉄骨供試体である。他方、ラチス材を有する極太異形棒鋼鉄骨では、コンクリートとの一体性が良好であり、特にラチス材の板厚が大きい場合その傾向が強い。

**3.3 ひび割れ開口量** コンタクトゲージにより、はり下面の最大ひび割れ開口量  $\delta_c$  を測定した結果を図 7 に示す。せん断卓越載荷にて H 鉄骨フランジ材が降伏した荷重  $P = 107t$  時の  $\delta_c$  を比較すると、極太異形棒鋼鉄骨を用いることによって  $\delta_c$  は H 鉄骨使用の場合よりも 35 % 低減し、ひび割れ分散に対するふしの付着効果が認められる。

**3.4 耐荷性能の評価** 静的実験で用いた耐力と変形の評価方法を本実験にも適用した結果を図 2, 3 に示す。これより、極太異形棒鋼を鉄筋とみなしが、かつラチス材にせん断力を分担させる評価方法で、耐荷性能の推定が可能なことが本実験でも確認できる。

#### 4.まとめ

極太異形棒鋼を用いた S R C はりの交番繰返し載荷実験により、本構造が靭性に優れること、並びにコンクリートとの一体性、ひび割れ分散性の良好なことが確認された。

**参考文献** 1) 森本, 小林: 第40回土木学会年次講演会, 第5部, P 415, S 60 年 9 月

2) 森本, 小林: 第41回土木学会年次講演会, 第5部, S 61 年 11 月

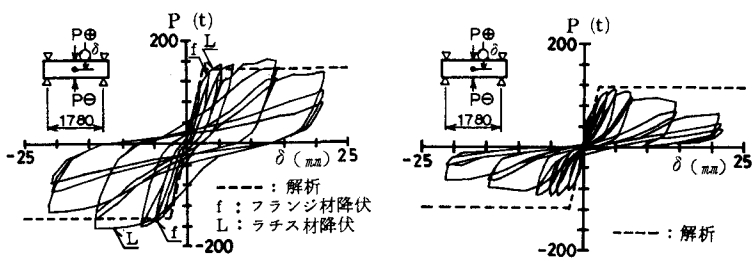


図 2 S L 2 の履歴曲線

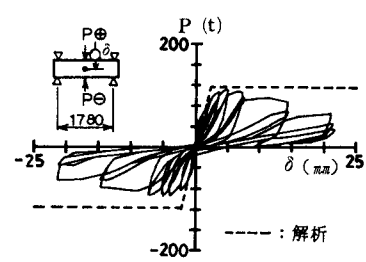


図 3 S R の履歴曲線

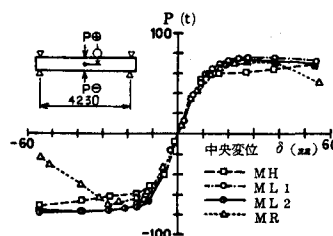
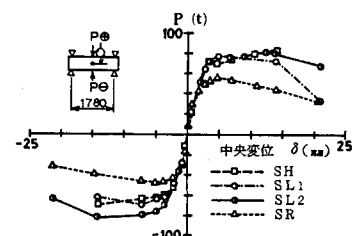
図 4 曲げ卓越載荷の  $P - \delta$  包絡線図 5 せん断卓越載荷の  $P - \delta$  包絡線

表 5 変形時の靭性(正載荷側)

供試体	靭性率 <sup>※1</sup>	靭性率 <sup>※2</sup>	備考
MH	7.8 以上	7.9	※1 $P_{Py} / \Delta_y$
ML 1	5.2 以上	7.5	$\Delta_y / \Delta_u$
ML 2	5.2 以上	6.3	※2 $P_{A1} / A_1$
MR	3.8	2.3	$P_{A2} / A_2$
SH	6.9 以上	13.0	実験値 計算値(短期)
SL 1	1.0	9.7	靭性率 = $A_1 / A_2$
SL 2	6.8	11.9	at $\delta / \delta_o = 10$ (曲げ)
SR	—	5.7	$\delta / \delta_o = 20$ (せん断)

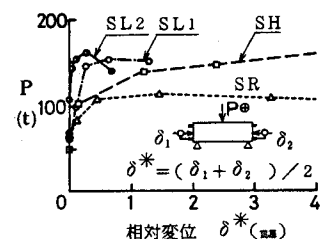


図 6 鋼材とコンクリートの相対変位(せん断卓越)

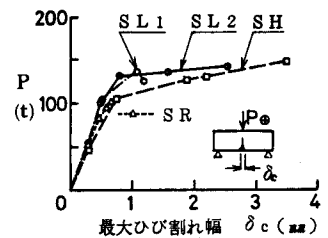


図 7 最大ひび割れ幅(せん断卓越)